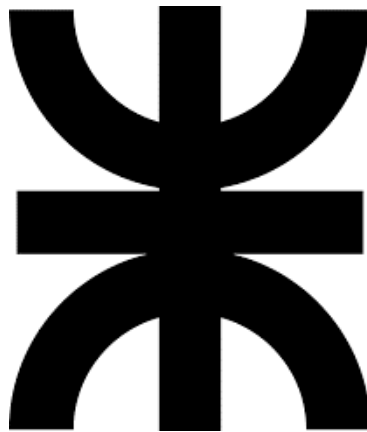


UNIVERSIDAD TECNOLÓGICA NACIONAL  
FACULTAD REGIONAL CÓRDOBA

INGENIERÍA ELECTRÓNICA



MEDIDAS ELECTRÓNICAS I

**Trabajo Práctico de Laboratorio N°11**

ANÁLISIS DE SEÑALES CON OSCILOSCOPIOS DIGITALES

<b>ALUMNOS</b>	:	Carreño Marin, Sebastian	83497
		Juarez, Daniel	79111
		Torres, Heber	84640
<b>CURSO</b>	:	4R1	
<b>DOCENTES</b>	:	Ing. Centeno, Carlos	
		Ing. Salamero, Martin	
		Ing. Guanuco, Luis	

CÓRDOBA, ARGENTINA  
6 de octubre de 2022



## CONTENIDO

<b>1. Introducción</b>	<b>2</b>
<b>2. Marco Teórico</b>	<b>2</b>
<b>3. Actividad Práctica</b>	<b>2</b>
3.1. Análisis de una forma de onda cuadrada . . . . .	2
3.2. Análisis de un tren de pulsos . . . . .	2
3.3. Observación de frecuencias producto del aliasing . . . . .	3
3.3.1. Aliasing con señal senoidal . . . . .	3
3.3.2. Aliasing con señal cuadrada . . . . .	4
3.4. Análisis de una señal modulada en amplitud . . . . .	6
3.4.1. Señal senoidal como modulante . . . . .	6
3.5. Observación de los productos de IMD de tercer orden . . . . .	8
3.6. Análisis de una señal modulada en frecuencia . . . . .	8
3.7. Análisis de la distorsión armónica producida por un amplificador . . . . .	8
<b>4. Conclusiones</b>	<b>8</b>

## **1. Introducción**

## **2. Marco Teórico**

## **3. Actividad Práctica**

### **3.1. Análisis de una forma de onda cuadrada**

### **3.2. Análisis de un tren de pulsos**

### 3.3. Observación de frecuencias producto del aliasing

El *aliasing* es un fenómeno que produce componentes de frecuencia falsas, es decir, que no son propias de la señal que se desea medir. Esto, en los osciloscopios digitales, ocurre cuando la velocidad de muestreo que se utiliza es insuficiente, es decir, muy baja, para la señal que se desea medir.

Por el teorema del muestreo se sabe que la velocidad de muestreo debe ser, como mínimo, el doble de la frecuencia máxima de la señal a ser medida.

#### 3.3.1. Aliasing con señal senoidal

Con el uso de uno de los generadores se setea una señal **senoidal** de frecuencia  $f = 10 \text{ kHz}$ , y una amplitud acorde a la mitad del valor posible, ya que no es algo crítico. Luego, con el menú matemático se eligen las opciones **FFT**, **CH1**, **Hanning** y **Zoom X1**. Además, la velocidad de muestreo se setea en  $f_s = 25 \text{ kSa/s}$ . En la Figura 1 se puede observar que la señal es correctamente muestreada, ya que se logra ver su componente de frecuencia.

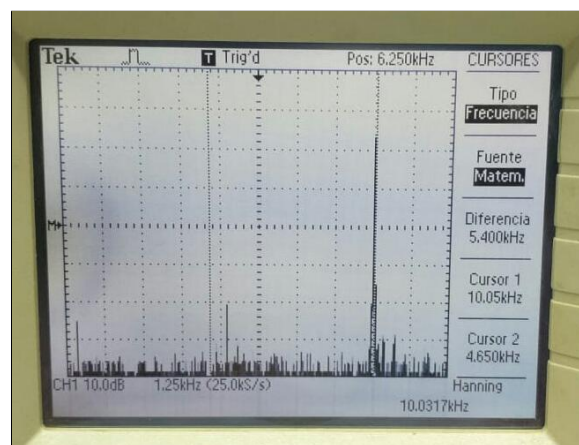
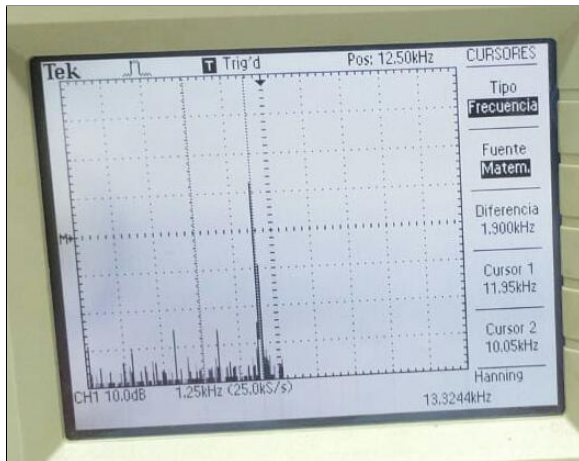
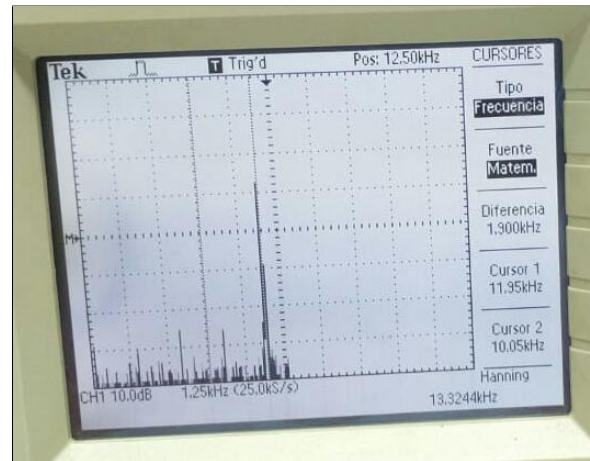


Figura 1: Espectro de señal senoidal de 10 kHz.

Ahora, se procede a cambiar la frecuencia de la señal que se desea medir, y se logra ver que a partir de la frecuencia  $f = 12,5 \text{ kHz}$  empiezan a haber frecuencias falsas. Este efecto es esperable, ya que la velocidad de muestreo elegida cumple con el teorema de muestreo solo para señales senoidales cuya frecuencia, como máximo, sea la mencionada en este párrafo.



(a)  $f = 12,5 \text{ kHz}$  y  $f_s = 25 \text{ kSa/s}$ .

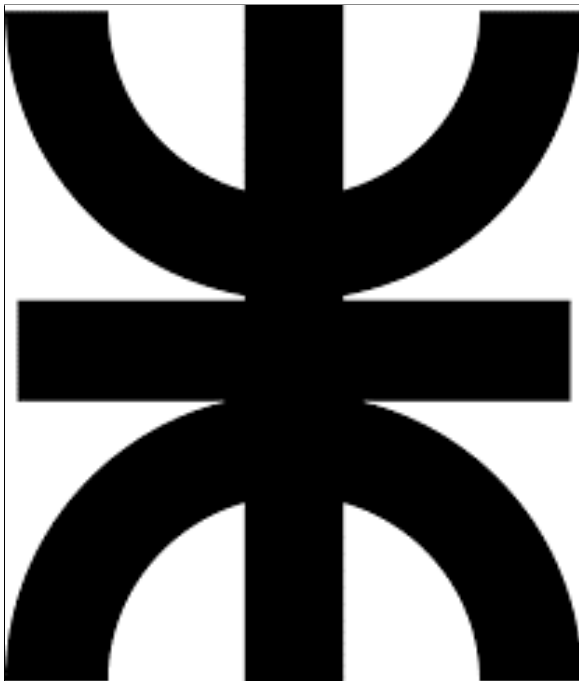


(b)  $f = 15 \text{ kHz}$  y  $f_s = 25 \text{ kSa/s}$ .

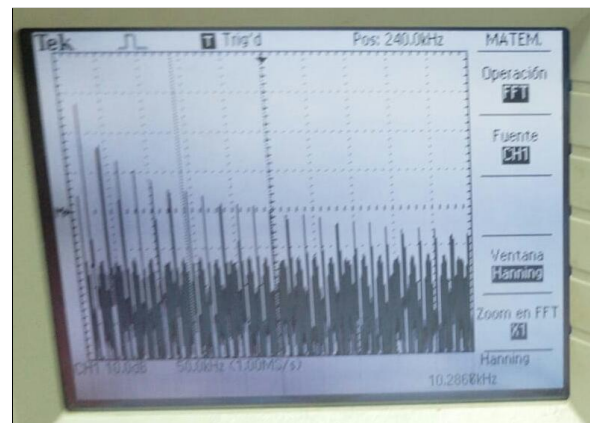
Figura 2: Espectro de señales con aliasing.

### 3.3.2. Aliasing con señal cuadrada

Se procede a hacer la misma experiencia anterior, pero con una señal cuadrada de  $f = 10 \text{ kHz}$ . Su forma en el tiempo y su espectro se puede ver en la Figura 3.



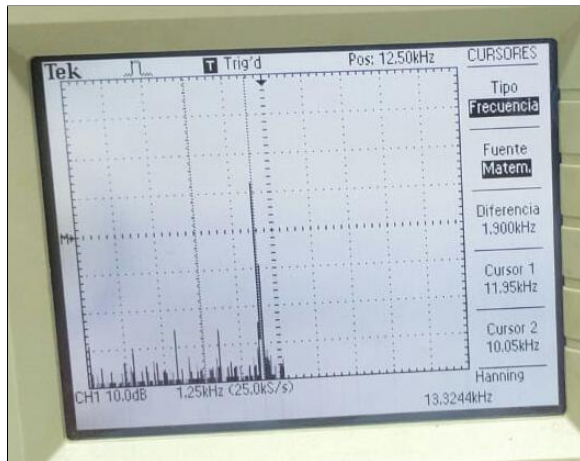
(a)  $f = 10 \text{ kHz}$ .



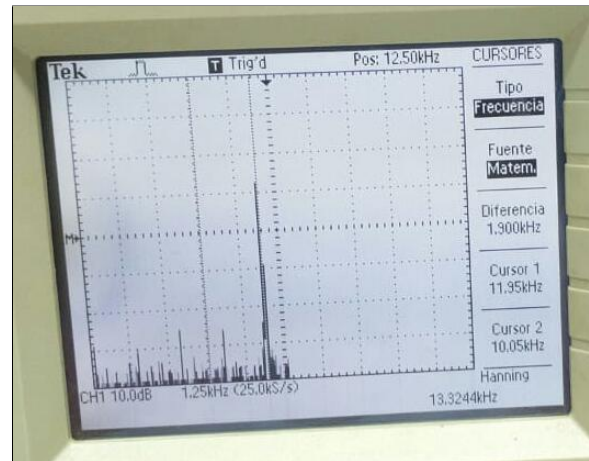
(b)  $f = 15 \text{ kHz}$  y  $f_s = 25 \text{ kSa/s}$ .

Figura 3: Espectro de señales con aliasing.

Luego, se procede a aumentar la frecuencia de la señal del generador, y también se logra ver los efectos del aliasing. En la Figura 4 se muestra lo mencionado.



(a)  $f = 12,5 \text{ kHz}$  y  $f_s = 25 \text{ kSa/s}$ .



(b)  $f = 15 \text{ kHz}$  y  $f_s = 25 \text{ kSa/s}$ .

Figura 4: Espectro de señales con aliasing.

### 3.4. Análisis de una señal modulada en amplitud

Las señales que son moduladas en amplitud (AM) poseen un espectro característico. Para poder visualizar el espectro de una señal AM se utiliza el circuito de la Figura 5. El mismo posee un circuito sintonizado o resonante, cuya frecuencia es  $f_o = 50 \text{ kHz}$ .

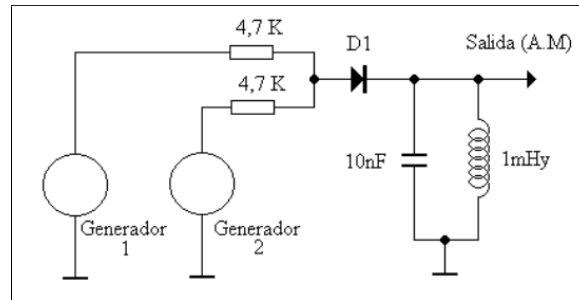
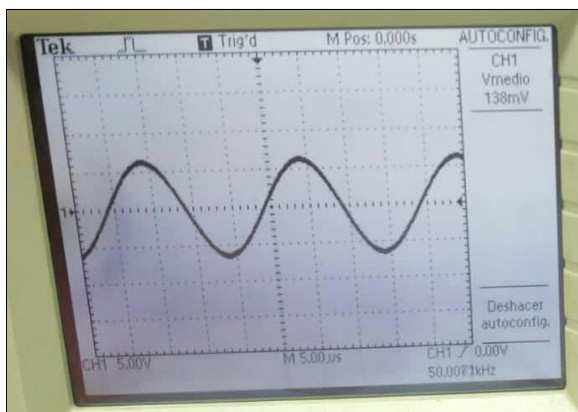


Figura 5: Circuito de modulación en amplitud.

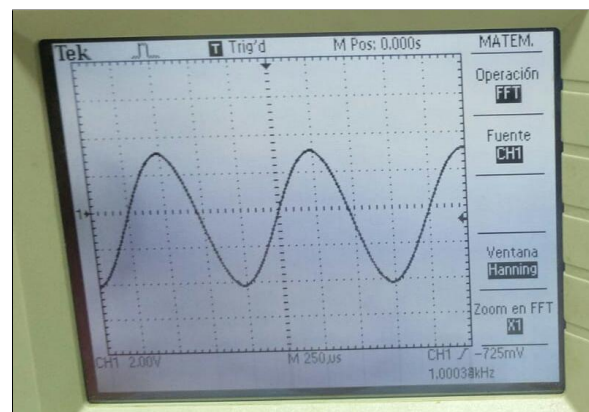
Con el generador **G1** se inyecta una señal senoidal que actúa como **portadora** de frecuencia  $f_c = 50 \text{ kHz}$ , y con el generador **G2** se inyecta la señal **modulante** de frecuencia  $f_m = 1 \text{ kHz}$ , que puede ser senoidal, triangular o cuadrada. Las amplitudes utilizadas mantienen una relación tal que la de la portadora sea el doble que la de modulante.

#### 3.4.1. Señal senoidal como modulante

Se setea el generador G2 para que entregue una señal senoidal, que actúa como banda base. Dicha señal y la portadora se pueden ver en la Figura 6.



(a) Portadora.



(b) Banda base senoidal.

Figura 6: Señales utilizadas para modular en amplitud,

Se elige una base de tiempos de **1 ms/div** y luego, el menú del trigger se setea de la siguiente manera: **Pendiente:** +, **Fuente:** CH1, **Modo:** Auto, **Acoplamiento:** Rechazo AF. Con todo esto, la imagen obtenida se encuentra en la Figura 7.



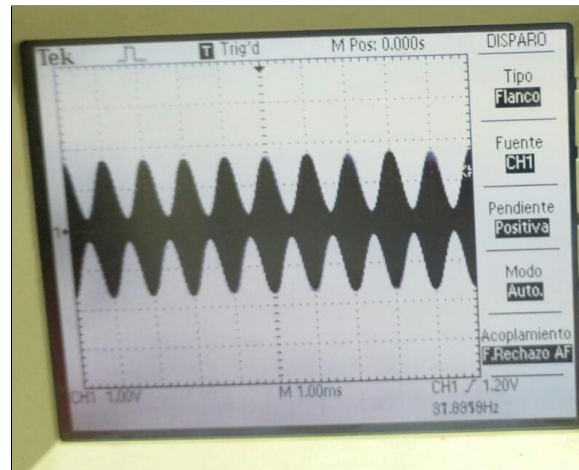
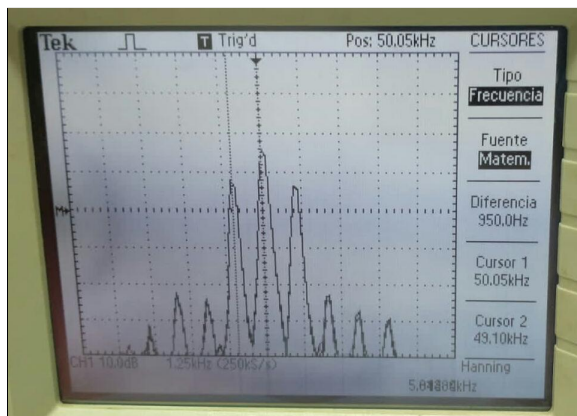
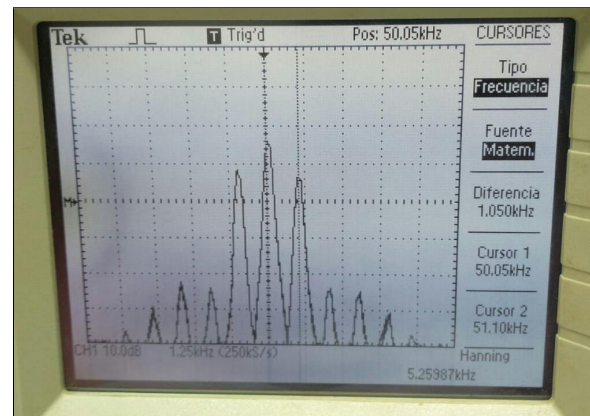


Figura 7: Señal AM con seno como modulante.

Luego, en el menú matemático se eligen las siguientes opciones: **Operación: FFT**, **Fuente: CH1**, **Ventana: Hanning** y **Zoom x10**. Además, el modo de adquisición se pone en **Promedio** con 64 cuentas. A continuación, mediante el uso de cursores, se procede a medir la frecuencias. Dichas mediciones se pueden apreciar en la Figura 8, y los valores se encuentran tabulados en la Tabla 1.



(a) Frecuencia BLInf.



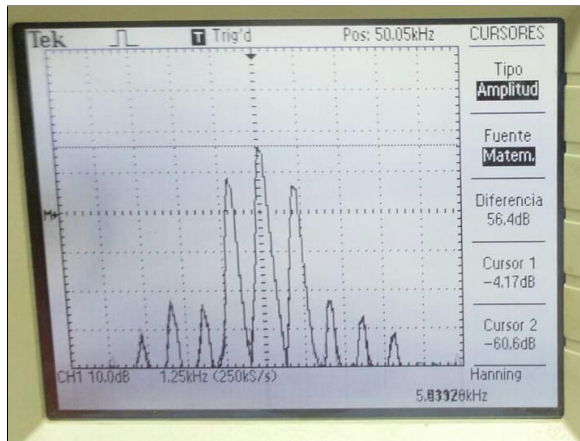
(b) Frecuencia BLSup.

Figura 8: Frecuencias de la señal AM con el seno como modulante.

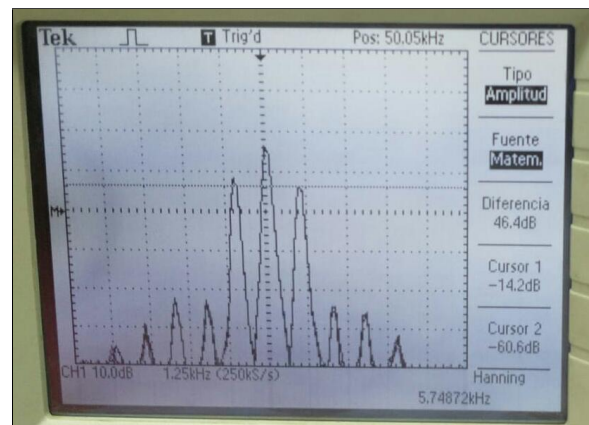
$f_c$	$f_{BLSup}$	$f_{BLInf}$	$f_m$
50,05 kHz	51,10 kHz	49,10 kHz	1,05 kHz

Tabla 1: Frecuencias medidas del espectro de la señal AM.

De la misma forma, se procede a realizar mediciones de amplitud de la señal AM en cuestión.



(a) Amplitud BLInf.



(b) Amplitud BLSup.

Figura 9: Frecuencias de la señal AM con el seno como modulante.

- 3.5. Observación de los productos de IMD de tercer orden
- 3.6. Análisis de una señal modulada en frecuencia
- 3.7. Análisis de la distorsión armónica producida por un amplificador
- 4. Conclusiones